# 水溶液からのハイドロキシアパタイトの合成 に関する基礎的研究

# 治、田村浩之、合田四郎

The Basic Study on the Synthesis of Hydroxyapatite in Solution

Osamu Fujino, Hiroyuki Tamura and Shiro Gohda

Research Institute for Science and Technology, Kinki University, Kowakae, Higashi-Osaka 577-8502, Japan

(Received, November 28, 2002)

### **Abstract**

The hydroxyapatite was formed by the extremery slow addition of diammonium hydrogenphosphate to solution of calcium nitrate buffered with etylenediamine at 36.5 . The Ca/P molar ratio in precipitate yielded was measured by ICP-AES, and condition of crystal exasmined by X-ray system. This synthetic apatite compared with mineral apatite, human tooth, bone of cattle and pig. The crystallization condition was inferior to mineral apatite, however, it was extremery similar in crystallization condition and Ca/P molar ratio of human tooth.

Key words: Synthesis hydroxyapatite, ICP-AES, X-ray diffraction pattern, Natural apatite,

## 1はじめに

骨や歯を構成している無機主成分は、 同や圏を構成している無機主成分は、リン酸カルシウムの一種であるハイドロキシアパタイト(以下 HAp と略記)であり、、般に  $Ca_{10}(PO_4)_6(OH)_2$  の化学式で示され、その結晶構造は、六方晶系である $^{11}$ 。 HAp はカルシウムの熱水溶液に、リンの水溶液を滴下することにより HAp の結晶構造を持つ沈殿を生成させることができる。

しかし、この系は低温における結晶化

や化学量論的なカルシウム対リンのモル比(以後 Ca/P 比と略記)1.67 を有する沈殿を得ることは極めて難しい。 又一方、放射性核種ストロンチウム - 90 や公害元素カドミウムは、生体の骨に沈着されやすいことで知られる。

そこで著者らは、これらに関する基礎的知見を得るため、実験室系かつ人間の体温である 36.5 におけるアパタイトの生成と微量金属イオンの固-溶液相間分配に

興味を持ち、まずここでは水溶液から HAp を生成する方法について検討した結果を報 告する。

# 2. 実験

## 2.1 試薬および装置

使用した標準溶液、試薬類、有機溶媒は すべて和光純薬株式会社、またはナカライ テスク株式会社製の特級および精密分析用 を使用した。

また発光測定には、日本ジャーレルアッシュ株式会社製の高周波アルゴンプラズマ発光分析装置 ICAP-575 型を使用した。周波数 27.12MHz、定格最大出力 2kW、分光部は焦点距離 0.75m のツェルニターナ型、回折格子は 1800 溝数/mm、入射および出射スリット幅は共に 10  $\mu$  m、プラズマトーチは石英ガラス製を、ネブライザーにはクロスフロー型を用い、測定は Table1 の条件に従った。

Table1: Measuring conditions

	Wave-	RF	Carrier
	length	power	gas
Element			flow
	(nm)	(kW)	rate
			(l/min)
Ca	393.366	2.0	0.45
P	213.618	2.0	0.4

X 線構造解析には、理学電気株式会社製の粉末 X 線回折装置(RINT2500)を用い、以下の条件で測定を行った。 X 線:Cu K-ALPHA1 /40kV /80mA、ゴニオメーター、発散スリット、散乱スリット:1deg、受光スリット:0.15mm、走査モード:連続、スキャンスピード:6°/min、スキャンステップ:0.02°、走査軸:2 / 、走査範囲:20~60°、オフセット:0°、固定角:0°。 pH メーターは株式会社堀場製作所製カスターエムAP 刑の コークーに22

pH メーターは株式会社堀場製作所製力スタニーLAB 型の pH メーターF-22 を、送液ポンプにはヤマト科学株式会社製マスターフレックス送液ポンプ 7520-40 型を使用した。

2.2 HAp 合成操作

HAp の合成は、硝酸カルシウムを含む水溶液に、リン酸水素アンモニウム水溶液をゆっくりと滴下し、HAp の沈澱を生成させる方法、すなわちガラス容器(1)に

0.1 mol/ のカルシウムイオンを含む水溶液 200 ml を入れ、合成温度(36.5 )および pH を一定に保つため、それぞれ恒温槽およびエチレンジアミンを緩衝溶液として用いた。

試料溶液が恒温(36.5)に達した所で、アルゴンガスを吹き込みながら 0.1 mol/l のリン酸水素アンモニウム溶液を一定速度で滴下することにより HAp の沈澱を生成させた。

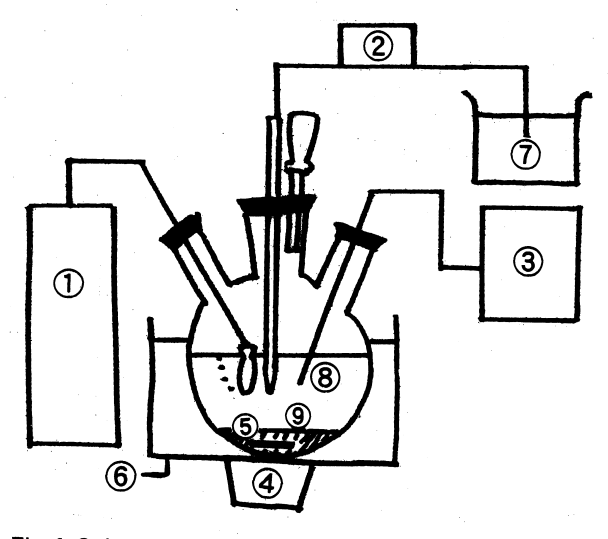


Fig.1 Schematic diagram of the apparatus for synthesis of hydroxyapatite

- ①Ar-gas, ②pump, ③pH meter and themometer,
- 4motor, ⑤rotor, ⑥heater, ⑦(NH₄)₂HPO₄,
- $(NO_3)_2 \cdot 4H_2O$  and  $NH_2CH_2CH_2NH_2$  (Etylenediamine)

Hap 沈殿の同定には上記で得られた沈殿はNo.5Cのろ紙にて、ろ過、これを110恒温槽で乾燥後、その一部を塩酸で溶解させICP発光分析法により、Ca及びPの濃度を測定しCa/P比を求めた。また一方、残った試料は粉末 X 線構造解析に供し、結晶化状態を調べた。

# 3.結果と考察

## 3.1 ICP-発光分析法による

### CaとPの測定条件

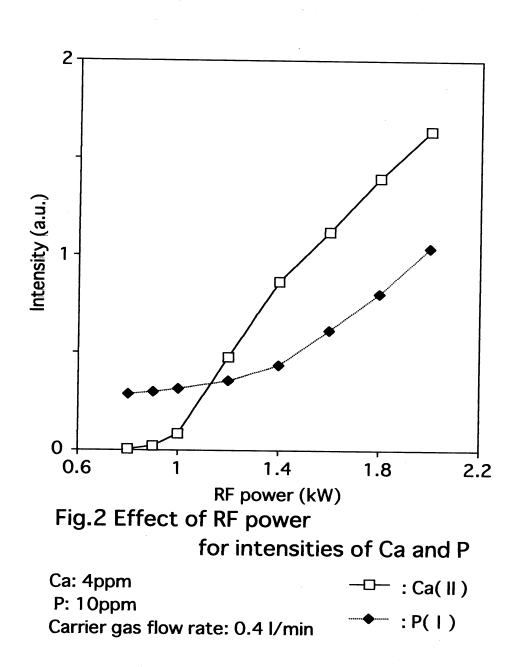
ICP 発光分析法(以後 ICP-AES と略記) では、測定する条件により発光強度や S/N 比(被検元素とバックグラウンドの発光強 度)が大きく異なる。そこで、生成した沈 澱の Ca/P を測定する際の測定条件につい て詳細な検討を行った。

ここでは発光強度に大きく影響すると考えられるキャリアーガス流量とプラズマ出 力(RF power)の 2 つのパラメーターについ て検討した。

### 3.1.1 高周波出力の影響

高周波出力(RF power)を変化させたとき の Ca と P の発光強度に対する影響を検討

た。 キャリアーガス流速を固定し、 高周波出 力を 0.8~2.0kW に変化させたときの結果 を Fig.2 に示す。



高周波出力の増加に伴い被検元素の発光 強度が上昇することを示している。この現 象は、出力を上昇させるとそれにともない プラズマ炎の温度が上昇し、励起される原 子やイオンの数が増大するためと考えられ

# 3.1.2 キャリアーガス流速の影響 試料溶液をプラズマ炎に導入する際の Ca と P の発光強度に対するネブライザー

のキャリアーガス流速の影響について検討 し、その結果を Fig.3 に示した。

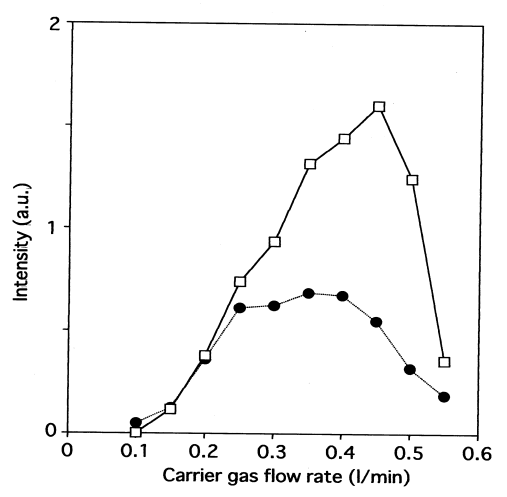


Fig.3 Effect of carrier gas flow rate for intensities Ca and P

Ca: 4ppm P: 10ppm ---- : Ca(Ⅱ) RF power: 2.0kW •─ :P(1)

これは高周波出力(RF power)を固定し、 キャリアーガス流速を 0.10~0.55 /mi まで変化させ、各元素ごとに発光強度が最大となる条件を求めたものである。また、 このような曲線を示す原因としば料の吸い リアーガス流速を上昇させると試料の吸い 上げ速度が上がり、プラズマ炎内に導入される原子の濃度が最大となり、その最大な では 0.45 /min 以上になるとプラズマ炎の温度が下がるためと考えられ、それに伴って励起される原子及びイオン濃度が減少し発光線の強度が低下することが考えられる。

### 共存塩類の影響

#### CaとPとの相互干渉について 3.2.1

ICP 発光分析法による定量を行う際に、 測定波長において他の共存元素からのスペ クトルの重なりによる、分光干渉をはじが物理および化学干渉などが生じる可能性がある。従って、これらの干渉が生じると、正確な定量値を得ることは困難となるため、これでは Ca と P の相互干渉について検討 した。

Ca についてはその 1ppm の溶液に  $0.5 \sim 10$  倍の濃度の P を共存させ、P については 100ppm の溶液に対し  $0.5 \sim 10$  倍の濃度の Ca を共存させ、干渉の有無を検討した。その結果、いずれにおいても影響は認められなかった。

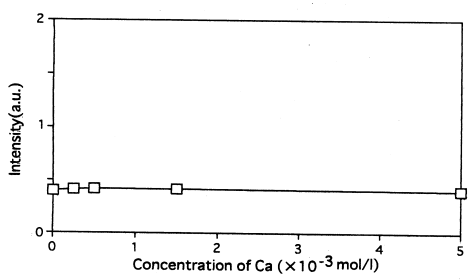


Fig.4 Effect of concentration of Ca for intensities of P

P:  $5.0 \times 10^{-5}$  mol/l RF power: 2.0kW —— : P Carrier gas flow rate: 0.45 l/min plasma: 0.2 l/min

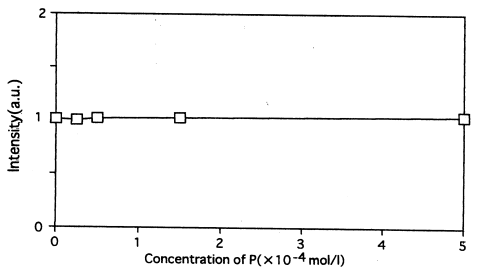


Fig. 5 Effect of concentration of P for intensities of Ca

Ca: 5.0×10<sup>-4</sup> mol/l RF power: 2.0kW Carrier gas flow rate: 0.4 l/min plasma: 0.2 l/min

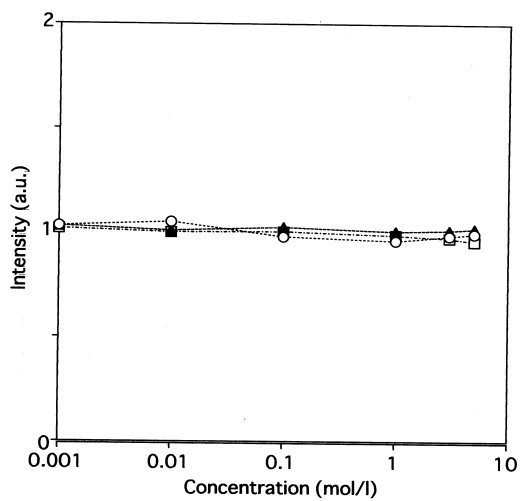


Fig. 6 The effect of acid in concentration

on the intensities of Ca

Carrier gas flow rate: 0.45l/min (ultratrace annalysis)
RF power: 2.0kW

plasma: 0.21/min

------ : HCl

### 3.2.2 無機酸の影響

合成した試料は無機酸を用いて分解を行うために、硝酸と塩酸の Ca(2ppm)の発光強度に対する濃度の影響について検討し、その結果を Fig.6 に示したが、これら 0.001 ~ 5mol/ の濃度範囲では全く干渉が見られなかった。

## 3.3 アパタイトの合成

3.3.1 市販品アパタイトの分析 アパタイトを合成するにあたり、合成したアパタイトを評価するため、ここでは市販されているアパタイトやアパタイト鉱石を粉末にしたものを用いて Ca/P 比および粉末 X 線構造解析における回折パターンを測定し、結晶化状態を比較した。

Table2:Molar ratio of Ca/P in various apatite in each manufacture

Apatite	Ca/P molar ratio	
Stantard apatite {Ca <sub>10</sub> (PO <sub>4</sub> ) <sub>6</sub> (OH) <sub>2</sub> }	1.67	
China(Mineral)	$1.42 \pm 0.02$	
Aldrich(HAp)	$1.17 \pm 0.06$	
Nacalai tesque (HAp)	$1.20 \pm 0.03$	
Wako (FAp)	$1.35 \pm 0.01$	
Wako (HAp)	$1.38 \pm 0.06$	

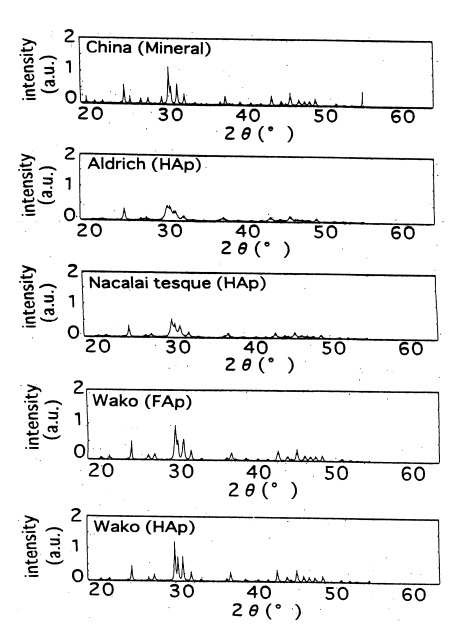


Fig.7 The condition of crystal at various apatite

その結果、X 線回折のピークは強度に示りは強度をアルボスが、は認めらいではです。 Ca/P 比がではいるではですが、ではいるではでは、 Ca/P にはできないではでは、 Ca/P にはいるではでは、 Ca/P にはいるではでは、 Ca/P にはがでは、 Ca/P にはがアたはのでは、 Ca/P にはがアルルでは、 Ca/P にはがアルルでは、 Ca/P にはがアルルでは、 Ca/P にもあるには、 Ca/P にもあるには、 Ca/P にもあるには、 Ca/P にもあるには、 Ca/P にもあるに、 Ca/P にもないがであるに、 Ca/P にもないがでは、 Ca/P にもないがでは、 Ca/P にもないがでは、 Ca/P にもないがでは、 Ca/P にもないがでは、 Ca/P にもないが、 Ca

れていたためであると考えられる。 以上のことより市販アパタイトは結晶化の状態は良好な製品もあったが、Ca/P 比はいずれの製品も理論値には程遠くアパタイトとは言い難いものがほとんどであった。

### 3.3.1 沈殿率および温度の影響

HAp を合成する際の水溶液中のカルシウムの各沈殿率(10~100%)に対する Ca/P 比および結晶化状態を合成温度 20~80 の範囲で検討した。

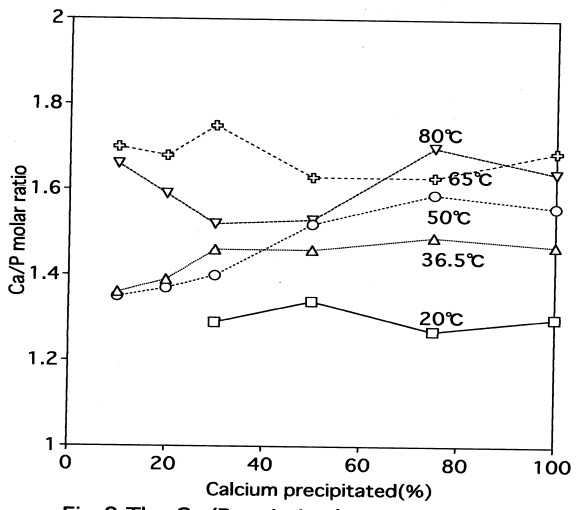


Fig.8 The Ca/P ratio in the precipitates formed at various temperature

Synthesis condition Ca: 0.04M P: 0.1M Dropping velocity of phosphate: 10ml/h pH 7.5 36.5℃ -□-:20°C -Δ-:36.5°C

-⊙--: 50°C

--♥--:65℃

Fig.8 の結果より、Ca/P 比は、温度の上昇に伴って Ca/P 比も上昇することが連まが見た。これは温度の上昇に伴い、反応は温度の上昇に伴い、反応は温度の上昇に伴い、反応は温度の上昇に伴って 20 のような低温状態ではカルシウムが不足は高いである。だった、結れなかったためと考えにおいての沈殿を見ると、沈殿率の上昇する傾向があった。

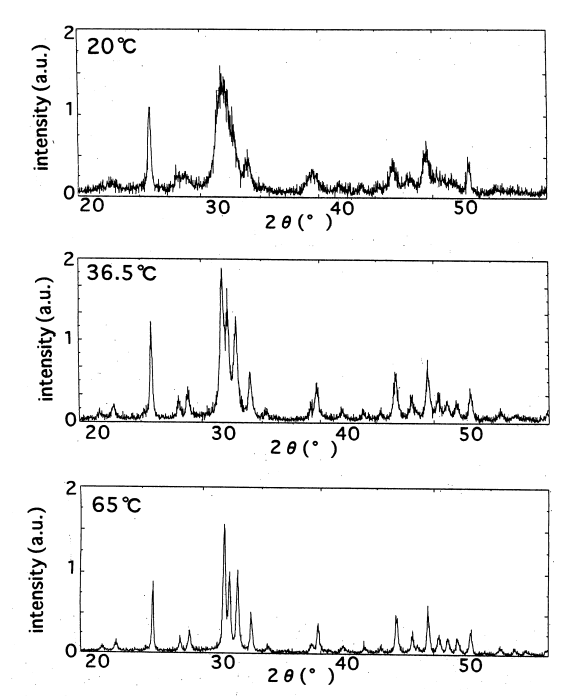


Fig. 9 The condition of crystal in the precipitates formed at various temperatures

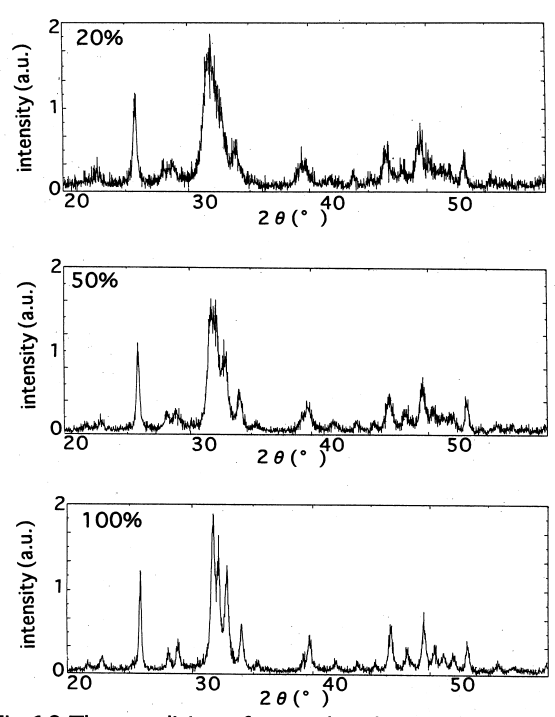


Fig. 10 The condition of crystal in the precipitates formed at various precipitation rates

一方、Fig.9~10 が示す X 線回折パターハの測定結果では、低温で合成されたアパアイトは、合成されたアパーの別よりも高温で合成されたとが結晶化が進んでいると結晶化が進むである。しかし沈殿率が大きなる。これらて結晶化が進むことを示している。

の理由として高温であるほど、結晶の熟成時間が短くなり、安定な結晶が迅速に多く析出されるためである。また沈殿率増加に伴って、結晶が熟成されるが、これは沈殿生成後の時間に比例し、結晶化状態が良好となったと考えられる。

3.3.2 リン酸塩適下速度変化による影響 リン酸塩滴下速度を 5~100ml/h まで変 化させたときの各 HAp の Ca/P 比および結 晶化状態を調べ、最適条件を検討した。

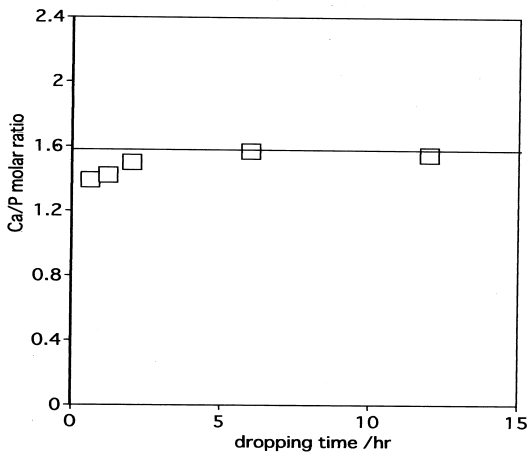


Fig.11 The Ca/P ratio in the various dropping time

synthesis condition Ca, P: 0.1mol/1 pH8 36.5℃ Dropping volume of phosphate: 60ml precipitation: 50%

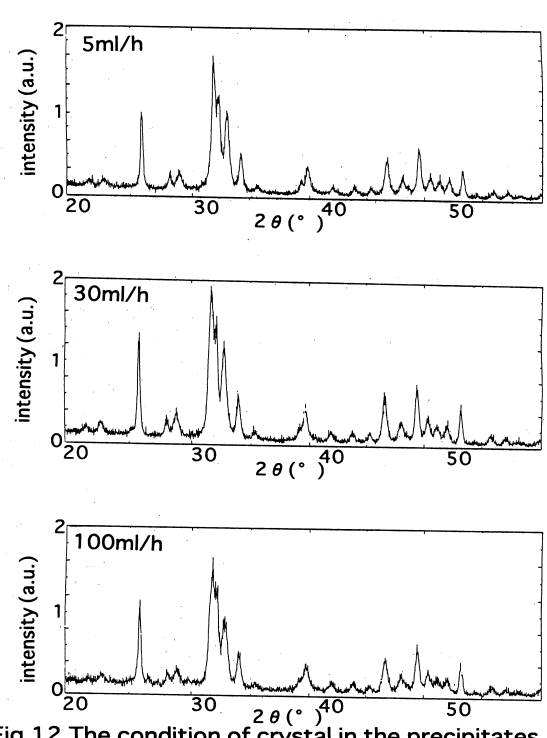


Fig.12 The condition of crystal in the precipitates formed at various dropping velocity of phosphate

Fig.11 が示す結果を見ると、滴下速度が速いときでは Ca/P 比は低い値をとり、適下速度が遅くなって行くにつれて Ca/P 比は上昇していく結果となった。しかしては上昇している場所ではあると Ca/P 比はほぼ一定化した。適下速度が速いと単位とはほびである。このではないかと推測される。

次に結晶化状態は、Fig.12 の結果より適下速度が速いと生じるアモルファ各のまるく X 線回折パターンにおけることも多く X 線回折パターンにおけることにもた。 (Ca/P 比の影響で述べた事と同様に、 (版をは、 (版を) は、 (のでは、 (は、 )のでは、 (は、 )のに、 (は、 )の

以上の結果より X 線回折パターンや Ca/P 比は適下速度が 5ml/h と 10ml/h にお いて、ほとんど変化がなく、以後のリン酸 塩適下速度は 10ml/h に決定した。

### 3.3.3 pH の影響

カルシウム溶液中の pH を 4.5~11 まで変化させたとき、合成した HAp の Ca/P 比及び結晶化状態を調べ、最適条件を検討し、それらの結果を Fig.13 と Fig.14 に示した。

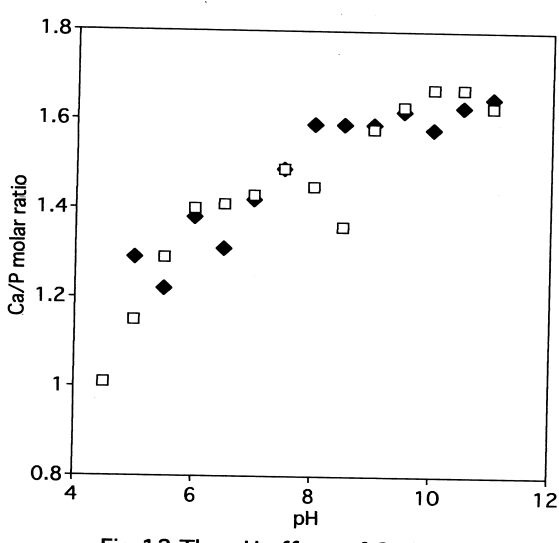


Fig.13 The pH effect of Ca/P ratio

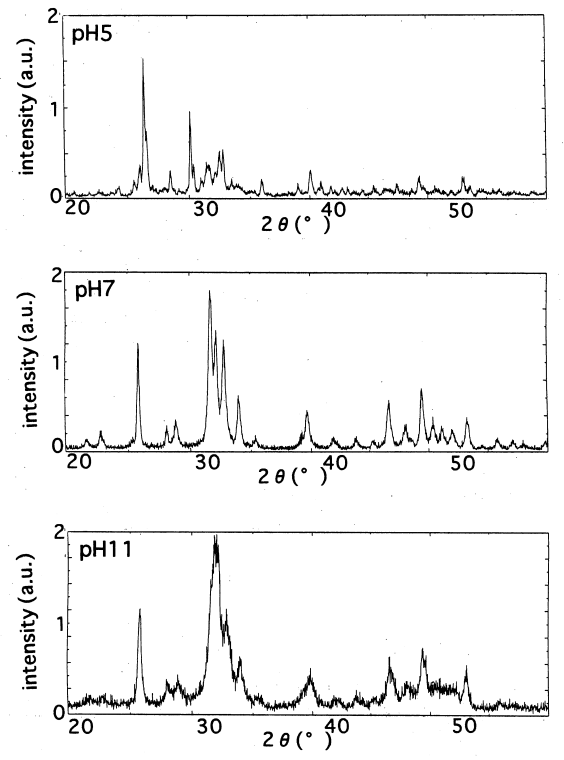


Fig.14 The condition of crystal in the precipitates formed at various pH

Ca/P 比については pH が高くなると Ca/P 比も上昇することを示した。これは pH の値が上昇するほど OH の濃度が急増するため、生成する HAp に混入されやすくなるのであろう。

また結晶化状態をみると、pH7 がもっとも良い結晶化状態を示しており、pH 上昇に伴ってバックグラウンドも上昇し、結晶化状態は低化していった。これは pH が上昇すると、溶液中の OH 濃度が極めて高くなるため、アパタイト結晶が形成されにくくなったのではないかと推測される。

逆に pH6 以下になると Ca/P 比が急激結でいるとと、Ca/P 比が急激結のになると、Ca/P 比が急激結のになると、Ca/P 比がれるのとき、Ca/P 比がれるのとき、Ca/P 化ではなくっときが低くターンがアがアが関係を可能をある。 Ca/P 比を調査するとがするとがするとがするとがするとがするとがするとがするとがあると、Ca/P 比を調査するとがされた結晶によりのとなり、Ca/P 比を調査する。 Ca/P 比を調査する。 Ca/P 比を調査を表される。 Ca/P 比を表えられる。 Ca/P になった。Ca/P になった。Ca/P

以上の結果より、結晶化されやすく、 Ca/P 比も比較的理論値に近く、アパタイトの沈殿生成の再現性があることなどを考慮し、以後 pH9 を最適条件と決定した。

### 3.3.4 実試料との比較 以上の合成実験結果をもとに、現段階

での最適条件、すなわち Ca: 0.1 mol/ , P: 0.1 mol/ , 36.5 , pH9, リン酸塩適下速度: 10 ml/h, カルシウム沈殿率: 50 % において合成したアパタイトと、鉱物アパタイト、人歯、牛骨、豚骨の結晶化状態および Ca/P 比の比較検討をおこなった。

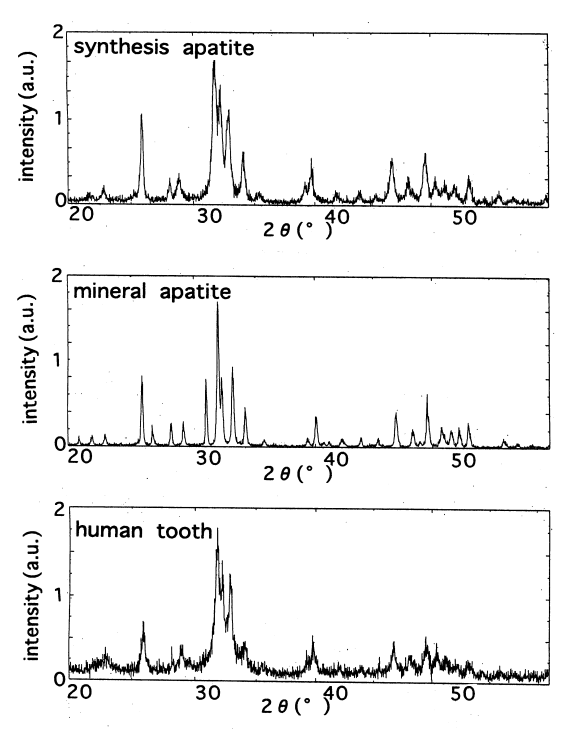


Fig.15 The condition of crystal in the various apatite

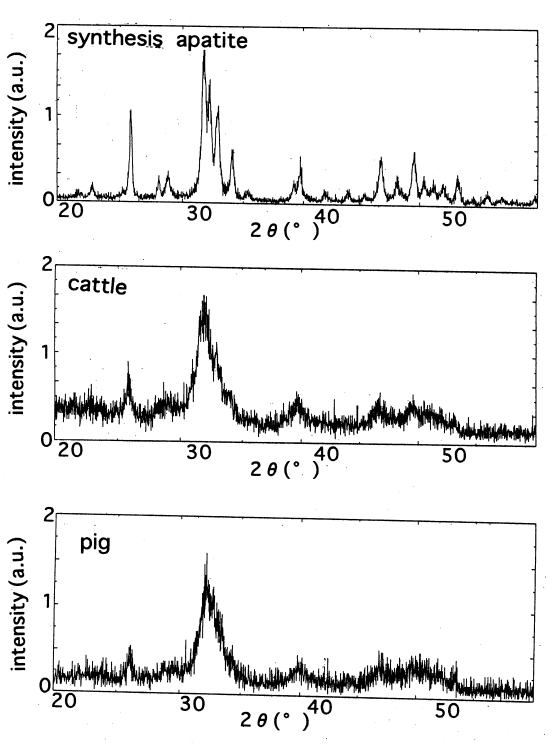


Fig. 16 The condition of crystal in the various apatite

Table3: The Ca/P molar ratio

of various apatite

Apatite	Ca/P molar ratio	
Standard apatite $Ca_{10}(PO_4)_6(OH)_2$	1.67	
Synthesis apatite	1.53	
Mineral apatite	1.49	
Human tooth	1.51	
Cattle bone	1.56	
Pig bone	1.49	

まず X 線回折パターン測定結果イトはタイトはタイトはタイトは極めて変われて変になる。 がアパタイトは極めてが極めしたでのでは、 がある。 がはなりた。 がかりがでは、 がの回折パターンをでは、 がの回折パターンをでは、 がの回折がでする。 がのでは、 がのでいる、 がのでは、 がのでいる、 がのでいる。 がのでいる。 がのでいる、 がのでいる。 がのでいる、 がの

しかし、人歯の Ca/P 比は 1.53 であり、著者らが合成したアパタイトの Ca/P 比も 1.51 であった事から、人歯成分と極めて類似した HAp 結晶が合成されたと考えられる。

~ さらに動物の体内で合成されたアパタイトは、Ca/P 比が示しているように、カルシウム欠損型のものと考えられる ¹)。

3.4 まとめ(3.3.2 ~ 3.3.4)

以上のようにアパタイト合成における

諸条件について検討を行った。

その結果、カルシウムの各温度における沈殿率の影響では、沈殿率において、Ca/P比には一定の傾向は得られなかった。しかし沈殿率上昇に伴い結晶化状態が向上することが判明した。また、温度の上昇に伴いCa/P比は増大し、結晶化状態は向上した。

次にリン酸塩適下速度の影響では、適下速度が遅くなるにつれて Ca/P 比が増大し、結晶化状態も向上することが判明した。また適下速度が 10ml/h 以下になると、その結晶状態は、ほぼ一定となるとの知見を得た。

また pH 変化に対する影響では、pH が大きくなるにつれ Ca/P 比は増大していく傾向にあった。一方、結晶化状態は pH7をピークに pH の大小を問わず、結晶化状態は徐々に低下していく、また pH6 から pH が下がるにつれて、アパタイトは徐々に合成され難くなり、その代わりにリン酸水素カルシウム $(CaHPO_4)$ が合成されはじめるという結果が得られた。

最後に実試料と合成アパタイトを比較した結果、鉱物アパタイトに比べ結晶化状態が劣るが、人歯とは極めて類似した結晶状態を有することが明らかとなった。

# 4 参考文献

- 1) 岡崎正之: "歯と骨をつくるアパタイトの化学"(1992), (東海大学出版会).
- 2) O.Fujino,: Bull, Chem, Soc, Japan, 48, 1455(1975).
- 3) 原口紘无,久保田正明,森田昌敏, 宮崎 章,不破敬一郎,古田直紀 :"ICP 発光分析法"日本分析化学会編, (1988),(共立出版).